# PERANCANGAN ALAT PRAKTIKUM KLASIFIKASI DC CHOPPER PADA LABORATORIUM KONVERSI ENERGI ELEKTRIK

Design of Practice Instrument of DC Chopper Classification In Electric Conversion Laboratory

#### Oleh:

## **Charles Ronald Harahap**

Email: charleshrp@unila.ac.id Dosen Jurusan Teknik Elektro Fakultas Teknik Universitas Lampung

Abstrak - DC Chopper adalah salah satu alat elektronika daya yang sangat berkembang saat ini, yang mana konverter ini sangat memiliki banyak fungsi di dalam dunia industri, salah satunya yaitu digunakan untuk mengatur kecepatan motor arus searah (DC), kontrol motor traksi pada automobil elektris, mobil trolley, kapal pengangkut dll. DC Chopper itu sendiri adalah sebuah piranti yang mengubah tegangan sumber arus searah (DC) yang tetap menjadi tegangan DC variabel yang dapat divariasikan dengan menempatkan saklar berkecepatan tinggi antara sumber dan beban. Percobaan klasifikasi DC chopper telah dilakukan, yaitu percobaan klasifikasi dc chopper kelas A, chopper kelas B dan chopper kelas C. Percobaan ini dilakukan dengan menggunakan berbagai jenis saklar yaitu BJT, Mosfet dan IGBT. Pembangkitan sinyal PWM pada Mosfet, IGBT dan BJT tersebut dihasilkan dan dikendalikan oleh mikrokontroler Atmega 8535. Pada chopper kelas A, telah dibuktikan bahwa tegangan dan arus dapat bernilai positif (kuadran pertama). Pada chopper kelas B, tegangannya bernilai positif dan arus bernilai negatif (kuadran kedua). Kemudian pada chopper kelas C, tegangannya bernilai positif sedangkan arusnya dapat bernilai positif atau negatif (kuadran pertama dan kuadran kedua). Bentuk signal gelombang pada MOSFET sudah hampir seperti kotak, hal ini disebabkan oleh waktu switching on dan off hampir sama. Ketika MOSFET diberi variasi duty cycle maka kenaikan tegangannya setiap interval lebih stabil dan mendekati nilai dari tegangan keluaran perhitungan. Waktu switching on pada IGBT lebih lama dari pada waktu off yang menyebakan nilai tegangannya selalu diatas dari nilai tegangan perhitungan. Waktu switching on pada BJT lebih singkat dari pada waktu off. Dari karakteristik masing-masing bentuk gelombang tersebut maka dapat disimpulkan bahwa switching yang baik adalah MOSFET karena waktu on dan off sudah hampir

Kata kunci : DC Chopper, MOSFET, BJT, IGBT

**Abstract** - DC chopper is an instrument of power electronic rapidly growth at the present, that it has

many functions in industrial field such as rotation speed adjustment of direct current (DC) motor, traction motor control in electric automobile, mobile trolley, ship, etc. DC chopper is a device to convert a fixed-voltage dc source into a variable voltage dc source that conversion result can be varied by adjusting high speed switch between source and load. Classification of dc chopper experiments have been done such as classification of class A dc chopper, class B dc chopper and class C dc chopper. This experiment is done by using various type of switches such as BJT, MOSFET and IGBT. Triggering signal of pulse-width modulation for MOSFET, IGBT and BJT are produced and controlled by Microcontroller ATMega 8535. In the class A dc chopper has been proven that voltage and current values can be positive (first quadrant). In the class B dc chopper, the voltage value is positive and the current value is negative (second quadrant). Then in the class C dc chopper, the voltage value is positive and the current value can be positive or negative (first and second quadrant). Wave form signals of MOSFET are almost like a square. They are caused by time switching "on" and "off" almost same. When MOSFET is given the variation of duty cycle which increase the value of voltage in every interval more stable and approximately to values of calculated output voltage. The time switching "on" of IGBT is longer than the time switching "off" which causes voltage value always higher than the value calculated output voltage. Time switching "on" the BJT is shorter than the time "off". From the characteristics of each waveform, it can be concluded that MOSFET is the good switching because the time switching "on" and the time switching "off" are almost same.

Key words: DC Chopper, MOSFET, BJT, IGBT

#### A. Pendahuluan

Elektronika daya merupakan salah satu mata kuliah yang membahas bidang ilmu tenaga listrik yang berhubungan dengan penggunaan komponen-komponen elektronika daya untuk merubah daya listrik dan pengendalian daya yang besar. Teknik

konversi memerlukan pensaklaran on dan off komponen semikonduktor daya.

Mengacu pada perkembangan ilmu dan teknologi elektronika daya tersebut, maka kebutuhan akan praktikum elektronika daya diperlukan guna mendukung kesuksesan dari matakuliah elektronika daya. Mengingat keterbatasan dan belum adanya praktikum elektronika daya pada Laboratorim Konversi Energi Energi Listrik Unila, maka penelitian "Perancangan Alat Praktikum Klasifikasi DC Chopper Pada Laboratorium Konversi Energi Elektrik Jurusan Teknik Elektro" ini dirancang dan diharapkan dapat segera dipakai agar praktikum elektronika daya dapat terlaksana.

Pada penelitian ini, akan dibuat chopper kelas A dan B, dan kelas C untuk membuktikan gelombang keluaran dari chopper dengan melakukan pengamatan melalui osiloskop. Dengan dirancangnya praktikum ini diharapkan mengetahui dan membedakan masingmasing gelombang keluaran dari ketiga bentuk klasifikasi de chopper. Pengerjaan penelitian dititik beratkan ini pembuktian gelombang hasil keluaran dari chopper.

## B. Tinjauan Pustaka

#### 1. Klasifikasi Chopper

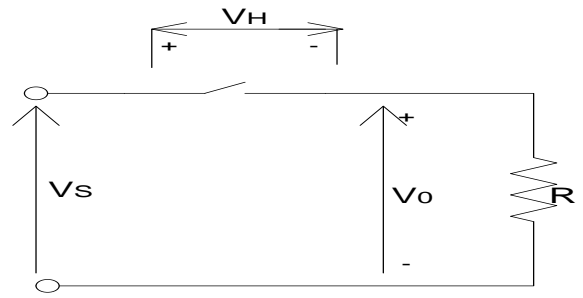
Chopper dapat diklasifikasikan menjadi lima jenis berdasarkan pada arah arus dan tegangan yang mengalir yaitu:

- a. Chopper kelas A
- **b.** Chopper kelas B
- c. Chopper kelas C
- d. Chopper kelas D
- e. Chopper kelas E

Dalam penelitian ini yang akan dirancang adalah klasifikasi dc chopper kelas A, kelas B, dan kelas C.

### a. Chopper Kelas A

Chopper kelas A ini hanya mengirimkan daya dari sumber ke beban.



Gambar 1. Rangkaian Chopper Kelas A

Chopper kelas A ini adalah chopper kuadaran ke satu, karena bentuk gelombang yang dihasilkannya berada pada kuadran ke satu. Tegangan dan arus beban adalah positif.

Tegangan keluaran rata-rata diberikan oleh :

$$V_a = \frac{I}{T} \int_0^{t_1} V_o dt = \frac{t_1}{T} V_s = f t_1 V_s = k V_s$$
 (1)

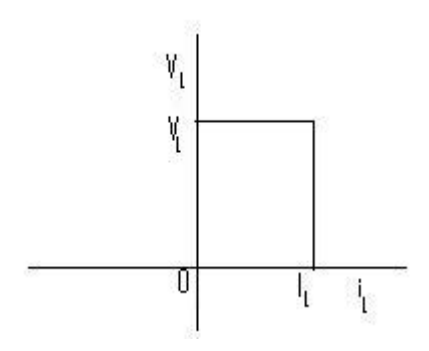
Dan arus beban rata-rata, adalah duty cycle chopper,dan f adalah frekuensi chopping. Nilai rms tegangan keluaran ditentukan dari

$$\begin{array}{l} I_a = \frac{V_a}{R} = \\ \frac{kV_S}{R} \text{, dengan } T \text{ adalah periode chopping,} k = \\ \frac{t_1}{\pi} \end{array}$$

$$V_0 = \left(\frac{1}{T} \int_0^{kT} v^2 0 \ dt\right)^{1/2} = \sqrt{k} V_s \tag{2}$$

Dengan mengasumsikan bahwa tidak ada rugi-rugi pada pada chopper maka daya masukan pada chopper sama dengan daya keluaran yang diberikan dengan

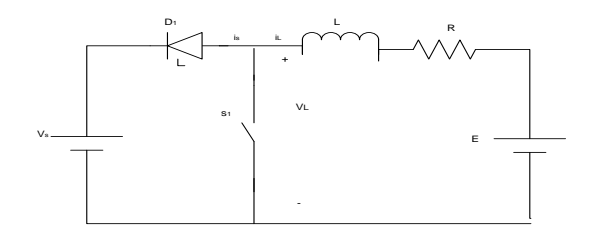
$$P_1 = \frac{1}{T} \int_0^{kT} v_0 i \, dt = \frac{1}{T} \int_0^{kT} \frac{v^2 0}{R} \, dt = k \frac{v^2 s}{R}$$
 (3)



Gambar 2. Bentuk Gelombang Chopper Kelas A

## b. Chopper Kelas B

Chopper kelas B ini arus bebannya keluar dari beban, dengan baterai E adalah bagian dari beban dan dapat menjadi emf balik motor dc.



Gambar 3. Rangkaian Chopper Kelas B

Chopper ini dapat juga disebut sebagai chopper kuadran kesatu, tetapi bekerja pada kuadran kedua. Tegangan beban positif, tetapi arus beban negatif.

Bila saklar  $S_1$  di on-kan, tegangan E menghasilkan arus melalui induktor L dan tegangan beban  $v_L$  menjadi nol. Arus  $i_l$ , yang meningkat, dinyatakan sebagai berikut:

$$0 = L\frac{di_L}{dt} + Ri_L + E \tag{4}$$

Dengan kondisi mula  $i_L(t=0)I_1$ , memberikan:

$$\begin{split} i_L &= I_1 e^{-\left(\frac{R}{L}\right)t)} & atau \quad 0 \leq t \leq kT \quad (5) \\ \text{Pada } t &= t_1, \quad i_L(t=t_1=kT) = I_2 \end{split}$$

Volume 5, No. 3, September 2011

Ketika saklar  $S_1$  di-off-kan, jumlah energy yang disimpan pada induktor L dikembalikan pada sumber  $V_s$  melalui diode  $D_1$ . Arus beban  $i_L$  akan jatuh. Dengan mendefinisikan ulang waktu mula t=0, arus beban  $i_L$  dinyatakan oleh :

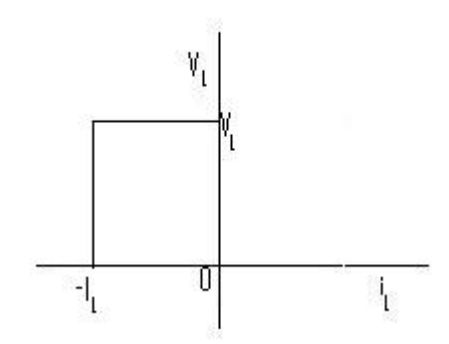
$$V_s = L\frac{di_L}{dt} + Ri_L + E \tag{6}$$

Dengan kondisi mula  $i(t = t_2) = I_2$ , menghasilkan:

$$i_L = I_2 e^{-\left(\frac{R}{L}\right)t} + \frac{V_s - E}{R} \bigg(1 - e^{-\left(\frac{R}{L}\right)t}\bigg) \qquad atau \; 0 \leq t \leq t_2$$

Dengan 
$$t_2 = (1 - k)T.Pada t = t_2$$
 (7)

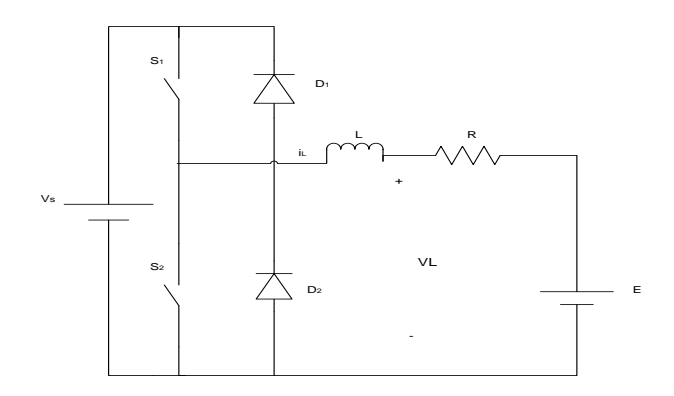
 $i_L(t = t_2) = I_1$  untuk arus kontinyu = 0 untuk arus tak kontinyu



Gambar 4. Bentuk Gelombang Chopper Kelas B

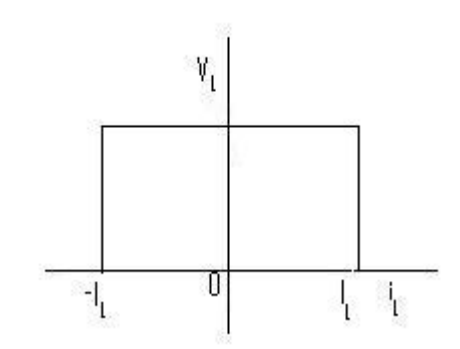
## c. Chopper Kelas C

Chopper kelas C dapat juga disebut sebagai kombinasi chopper kelas A dan B.  $S_1$  dan  $D_2$  bekerja seperti chopper kelas A,  $S_2$  dan  $D_1$  bekerja seperti chopper kelas B. Harus dijaga hati-hati agar dua saklar tersebut tidak bekerja secara bersama-sama;bila hal ini terjadi maka sumber  $V_s$  akan mengalami hubung singkat. Chopper kelas C ini dapat bekerja sebagai penyearah atau pembalik (inverter).



Gambar 5. Rangkaian Chopper Kelas C

Arus beban dapat positif atau negatif, sedangkan tegangan beban selalu positif. Ini disebut chopper kuadran kedua.



Gambar 6. Bentuk Gelombang Chopper Kelas C

# C. PERANCANGAN KLASIFIKASI CHOPPER

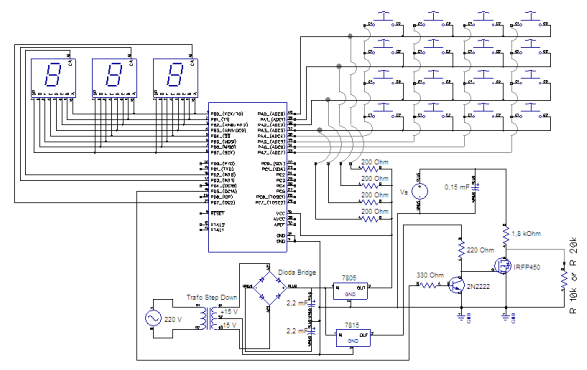
Dalam penyelesaian penelitian ini ada beberapa langkah kerja yang dilakukan untuk mencapai hasil akhir yang diinginkan, di antaranya:

- 1. Perancangan perangkat keras
- 2. Perancangan perangkat lunak
- 3. Pembuatan alat
- 4. Pengujian alat

## 3.1 Perancangan Perangkat Keras

Adapun rangkaian yang telah dibuatkan seperti gambar di bawah ini:

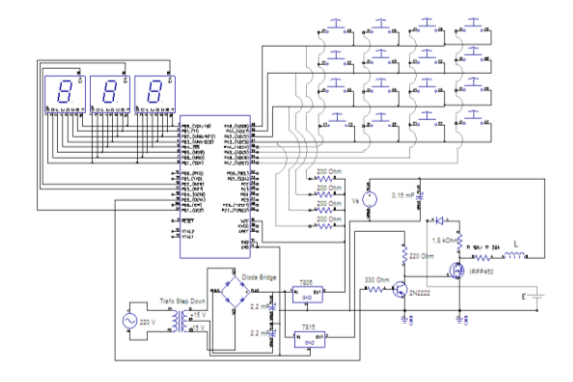
## a. Rangkaian Chopper Kelas A



Gambar 7. Skematik Rangkaian Chopper Kelas A

Pengujian chopper kelas A dilakukan dengan memvariasikan jenis transistor yang digunakan sebagai pensaklaran pada chopper yaitu, BJT, MOSFET dan IGBT.

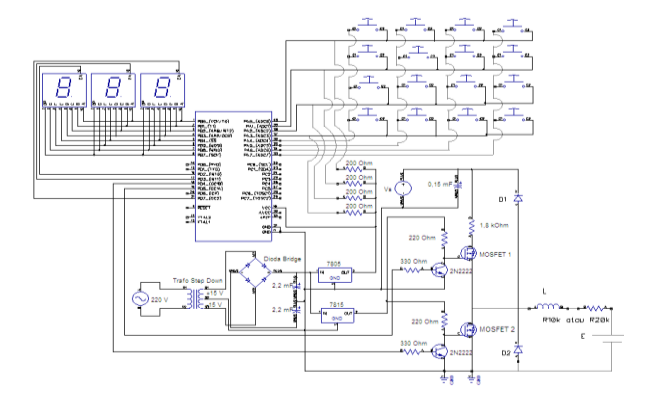
### b. Rangkaian Chopper Kelas B



Gambar 8. Skematik Rangkaian Chopper Kelas B

Pengujian chopper kelas B dilakukan dengan memvariasikan jenis transistor yang digunakan sebagai pensaklaran pada chopper yaitu, BJT, MOSFET dan IGBT.

## c. Rangkaian Chopper Kelas C

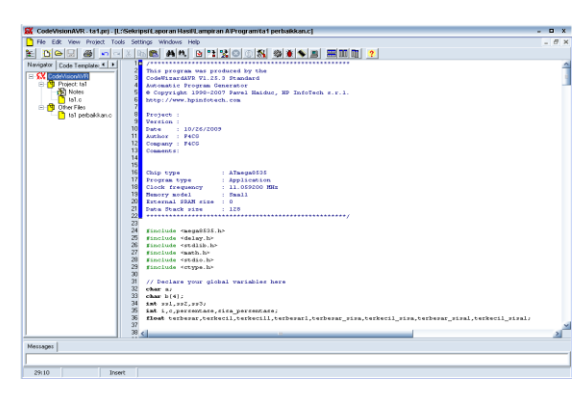


Gambar 9 Skematik Rangkaian Chopper Kelas C

Pengujian chopper kelas C dilakukan dengan memvariasikan jenis transistor yang digunakan sebagai pensaklaran pada chopper yaitu, BJT, MOSFET dan IGBT.

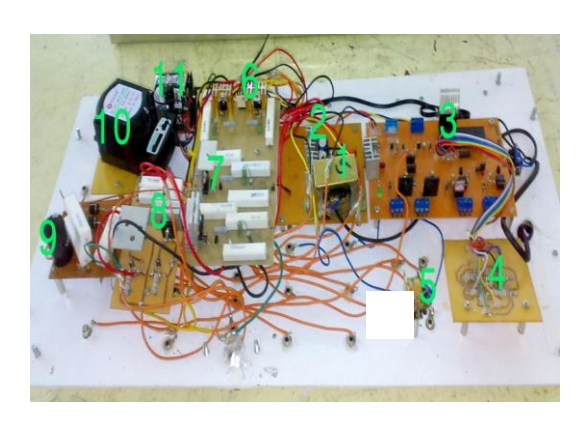
## 3.2 Perancangan Perangkat Lunak

Perancangan perangkat lunak dalam penelitian ini menggunakan software codevision AVR dengan bahasa pemrograman bahasa C dan menggunakan mikrokontroller ATMega8535.



Gambar 10. Tampilan AVR Code Vision

#### 3.3 Pembuatan Alat

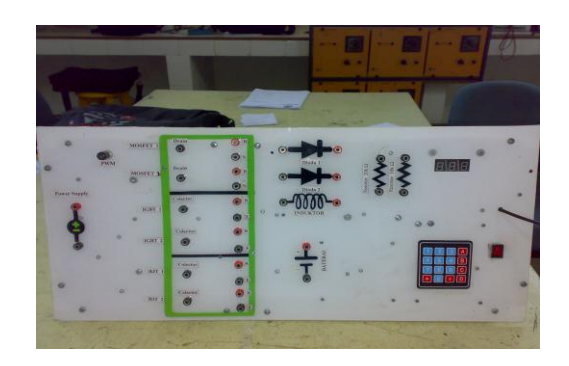


Gambar 11. Alat klasifikasi Chopper

- 1. Transformer step down
- 2. Power supply circuit
- 3. Master controller circuit
- 4. Seven segment circuit
- 5. Capasitor 150 μF
- 6. Rangkaian BJT
- 7. Rangkaian MOSFET
- 8. Rangkaian IGBT
- 9. Induktor, dioda dan kapasitor
- 10. Adaptor
- 11. Tempat Baterai

## 3.4 Pengujian Alat

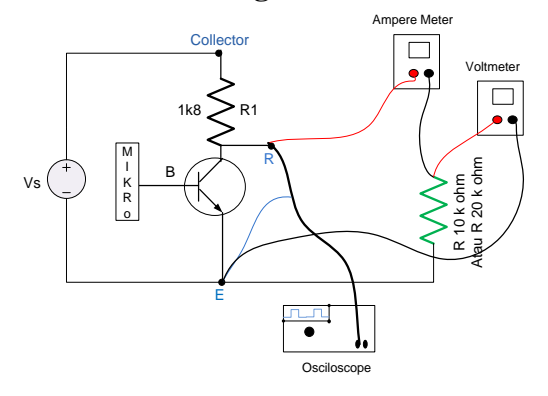
Dalam pengujian alat dilakukan terlebih dahulu dibuat alat pendukung untuk pengambilan data-data yang diinginkan seperti gambar di bawah ini:



Gambar 12 Tampilan Luar Alat Praktikum

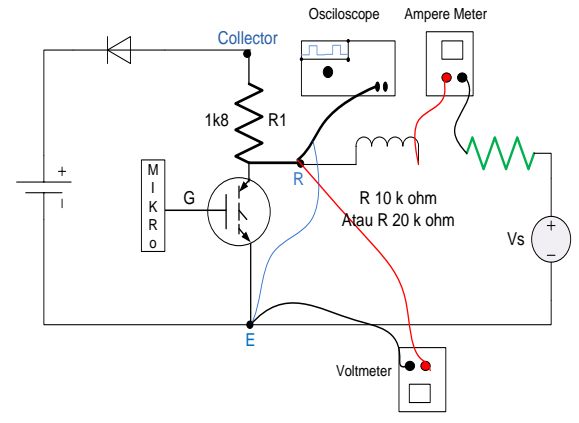
Mode rangkaian yang dilakukan untuk masing-masing kelas dari rangkaian chopper dapat dilakukan seperti gambar di bawah ini

## Mode Rangkaian Kelas A



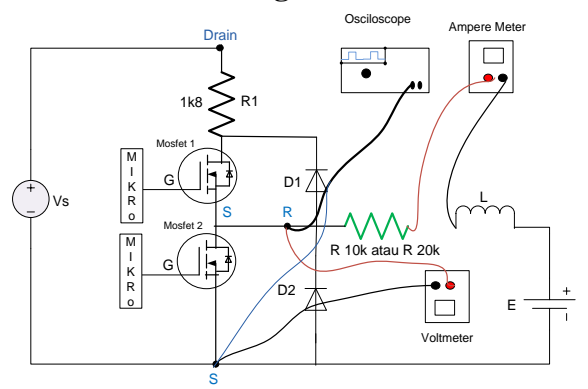
Gambar 13 Mode Rangkaian *Chopper* Kelas A Pada Praktikum

## Mode Rangkaian Kelas B



Gambar 14 Mode Rangkaian Chopper Kelas B Pada Praktikum

## Mode Rangkaian Kelas C



Gambar 15. Mode Rangkaian Chopper Kelas C Pada Praktikum

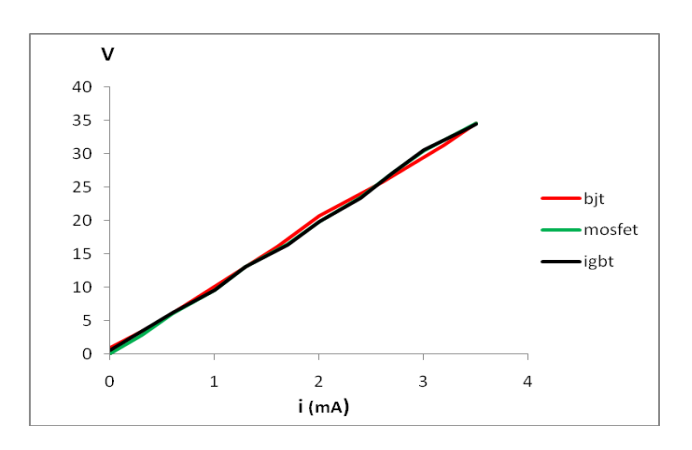
#### D. HASIL PENGUJIAN

Dari pengujian yang dilakukan untuk masing-masing komponen yang digunakan seperti BJT, MOSFET dan IGBT pada chopper kelas A, Kelas B dan Kelas C maka diperoleh hasil seperti tabel di bawah ini:

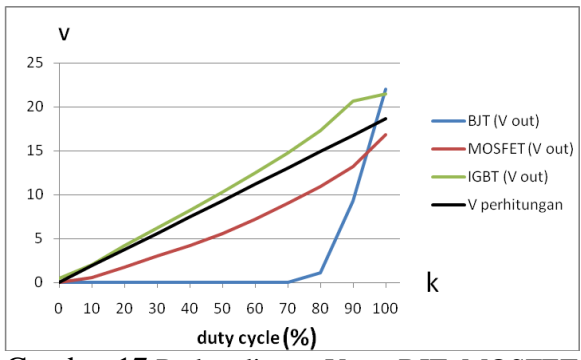
## 1. Hasil Pengujian Kelas A

Tabel 1. Data hasil pengujian saat Vin = 40V dengan beban  $10k\Omega$ 

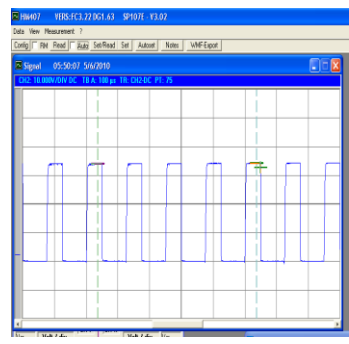
Duty MOSFI		ET IGBT		BJT		
cycle	I	V <sub>out</sub>	i(mA)	V <sub>out</sub>	i(m	V <sub>out</sub>
	(mA)				A)	
0%	0.0	0.0	0.0	0.6	0.0	0.0
10%	0.3	2.8	0.6	6.2	0.0	0.0
20%	0.6	6.0	1.0	9.6	0.0	0.9
30%	1.0	9.5	1.3	13.0	0.4	4.2
40%	1.3	13.0	1.7	16.3	0.8	8.0
50%	1.7	16.4	2.0	19.8	1.2	12.0
60%	2.0	19.8	2.4	23.3	1.6	16.0
70%	2.4	23.4	2.7	27.0	2.0	20.7
80%	2.7	27.0	3.0	30.5	2.6	25.7
90%	3.0	30.4	3.4	33.6	3.2	31.3
100%	3.5	34.5	3.5	34.4	3.5	34.5



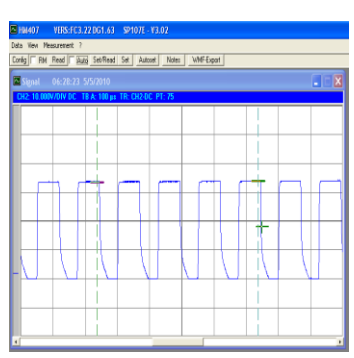
Gambar 16. Hubungan V-I BJT, MOSFET dan IGBT (**kwd I**) dengan beban 10 k $\Omega$  dan V in 40 V



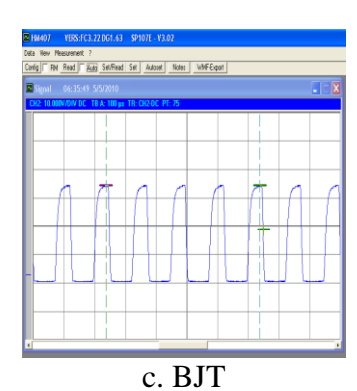
Gambar 17 Perbandingan V out BJT, MOSFET dan IGBT dengan Vin 40V dan R 10kΩ pada pengujian *chopper* Kelas A



a. Mosfet



b. IGBT

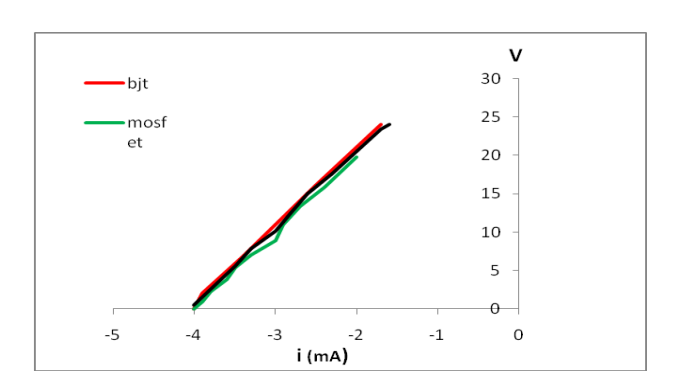


Gambar 18. Bentuk Sinyal Gelombang Keluaran Mosfet, IGBT dan BJT Pada k=50%

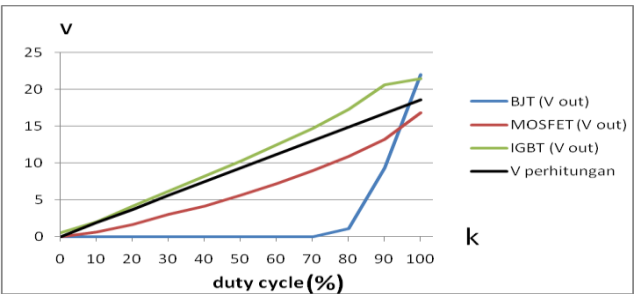
## 2. Hasil Pengujian Kelas B

Tabel 2. Data hasil pengujian saat Vin = 40V dengan beban  $10k\Omega$ 

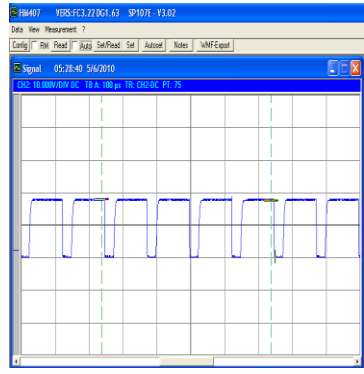
Duty	MOSFET		IGBT		BJT	
cycle	I	V <sub>out</sub>	i(mA	V <sub>out</sub>	i(mA)	$V_{out}$
	(mA)		)			
0%	-4.0	0.0	-4.0	0.5	-4.0	0.0
10%	-3.9	0.9	-3.7	3.5	-4.0	0.0
20%	-3.8	2.3	-3.5	5.6	-4.0	0.0
30%	-3.6	3.8	-3.3	7.9	-4.0	0.0
40%	-3.5	5.4	-3.0	10.2	-4.0	0.0
50%	-3.3	7.0	-2.8	12.6	-4.0	0.0
60%	-3.0	8.9	-2.6	15.0	-4.0	0.0
70%	-2.9	11.0	-2.3	17.6	-3.9	2.1
80%	-2.7	13.4	-2.0	20.5	-3.4	6.8
90%	-2.4	15.9	-1.7	23.4	-2.5	16.2
100	-2.0	19.8	-1.6	24.0	-1.7	24.0
%						



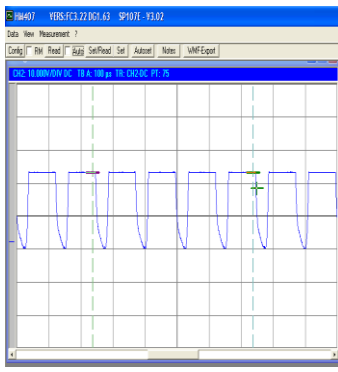
Gambar 19 . Hubungan V-I BJT, MOSFET dan IGBT (**kwd II**) dengan beban 10 k $\Omega$  dan V in 40 V



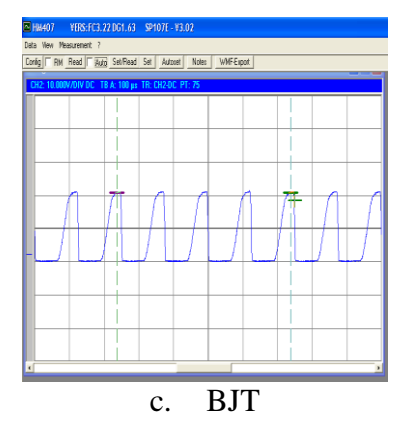
Gambar 20. Perbandingan V out BJT, MOSFET dan IGBT dengan Vin 40V dan R 10k pada pengujian *chopper* Kelas B



## a. MOSFET



b. IGBT



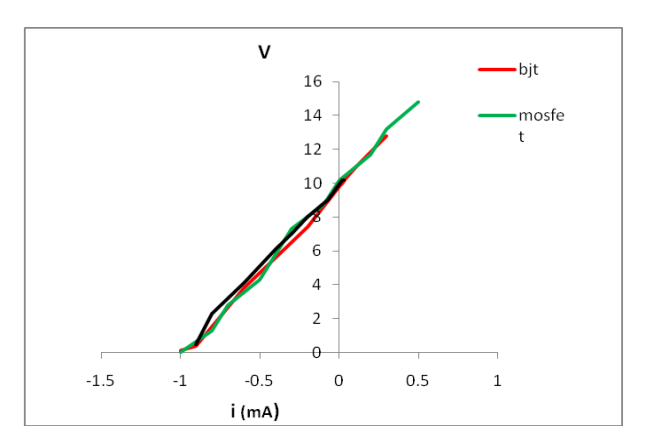
Gambar 21. Bentuk Sinyal Gelombang Keluaran Mosfet, IGBT dan BJT Pada k=80%

# 3. Hasil Pengujian Kelas C

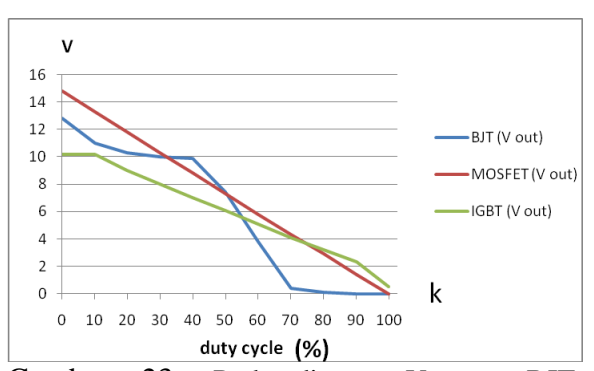
Tabel 3. Data hasil pengujian saat Vin = 40V dengan beban  $10k\Omega$ 

Duty	MOSFET		IGBT		BJT	
cycle	I	V <sub>out</sub>	i(mA)	V <sub>out</sub>	i(m	V <sub>out</sub>
	(mA)				A)	
0%	0.5	14.7	0.03	10.2	0.3	12.8
10%	0.3	13.2	0.02	10.2	0.11	11.0

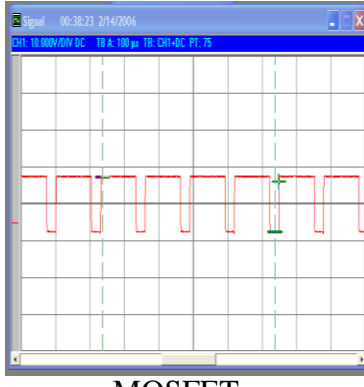
20%	0.2	11.7	-0.07	9.0	0.04	10.3
30%	0.0	10.2	-0.2	8.0	0.02	10.0
40%	-0.1	8.7	-0.3	7.0	0.01	9.9
50%	-0.3	7.2	-0.4	6.1	-0.2	7.4
60%	-0.4	5.8	-0.5	5.1	-0.6	3.8
70%	-0.5	4.3	-0.6	4.1	-0.9	0.4
80%	-0.7	2.8	-0.7	3.2	-1.0	0.1
90%	-0.8	1.3	-0.8	2.3	-1.0	0.0
100%	-1.0	0	-0.9	0.5	-1.0	0.0



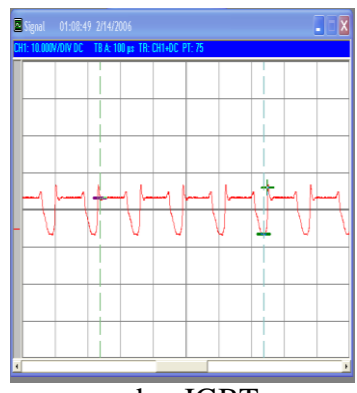
Gambar 22. Hubungan V-I BJT, MOSFET dan IGBT (**kwd I&II**) dengan beban 10 k $\Omega$  dan V in 40 V.



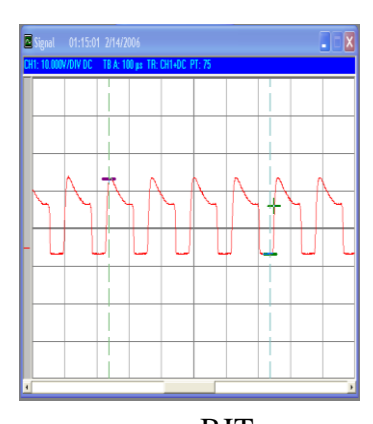
Gambar 23. Perbandingan V out BJT, MOSFET dan IGBT dengan Vin 40V dan R 10k pada pengujian *chopper* Kelas C



a.MOSFET



b. IGBT



c. BJT

Gambar 25. Bentuk Sinyal Gelombang Keluaran Mosfet, IGBT dan BJT Pada k=30%

#### 3. KESIMPULAN dan SARAN

#### Kesimpulan

Dari serangkaian penelitian, pengujian, dan analisa yang telah dilakukan dapat disimpulkan bahwa:

- 1. Untuk daya-daya yang kecil, MOSFET memiliki pensaklaran yang lebih baik jika dibandingkan dengan IGBT dan BJT, karena tegangan keluaran yang dihasilkannya cenderung stabil dan selalu hampir sama dengan tegangan perhitungannya ketika duty cycle maupun V<sub>in</sub> divariasikan.
- 2. BJT memiliki pensaklaran yang lebih buruk, karena V out yang dihasilkan oleh BJT cenderung tidak stabil dan tidak seiring dengan kenaikkan nilai *duty cycle* yang diberikan.
- 3. Pada IGBT kenaikan tegangan keluaran setiap interval *dutyc ycle* yang dihasilkannya cenderung stabil hanya saja V outnya lebih besar dari V perhitungannya. IGBT baik digunakan untuk daya-daya yang besar.

#### Saran

Saran yang dapat diberikan untuk penelitian selanjutnya adalah :

- Jika diperlukan dapat dilakukan tambahan komponen pensaklaran elektronika daya yang lain seperti SIT, GTO dll, agar lebih menambah kajian dan perbedaan karakteristik dari masingmasing komponen.
- 2. Perlunya ditambah alat-alat praktikum elektronika daya yang lain, untuk lebih menambah pengetahuan para mahasiswa.

#### DAFTAR PUSTAKA

Bishop, O.2002. *Dasar-Dasar Elektronika*. Erlangga. Jakarta.

Cyril, W.1987, *Power Electronics*, McGraw- Hill, UK.

Ned Mohan, Tore, M, William. P, 1989,

\*Power Electronics, Converters,

\*Application and Design, Joh Willey & Son, INC, USA.

Rashid, M.1993. *Elektronika Daya jilid 1*. Pt Prenhallindo. Jakarta. Wardhana, L. 2006. *Belajar Sendiri* 

Wardhana, L. 2006. *Belajar Sendiri Mikrokontroller Seri ATmega8535*.
Penerbil Andi. Yogyakarta.

Zuhal. 1995. *Belajar Sendiri Dasar Teknik Tenaga Listrik dan Elektronika Daya*. Penerbil PT Gramedia Pustaka

Utama. Jakarta.